

図4.28 No.2の集じん灰中のダイオキシン類の同族体および異性体分布

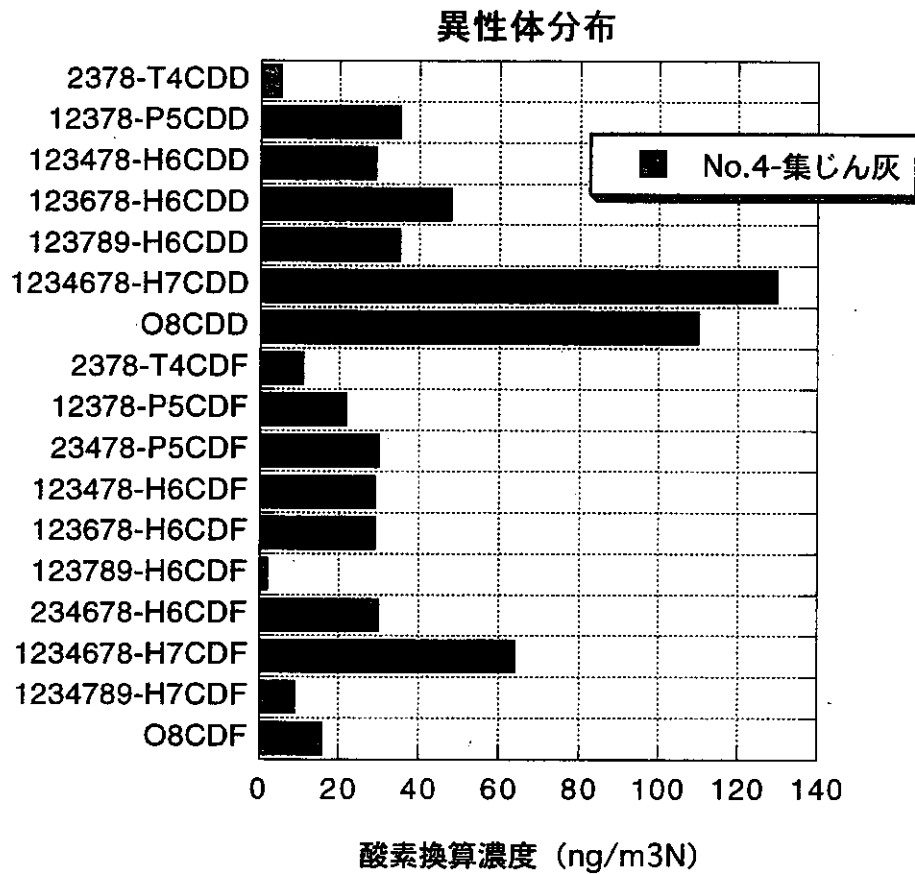
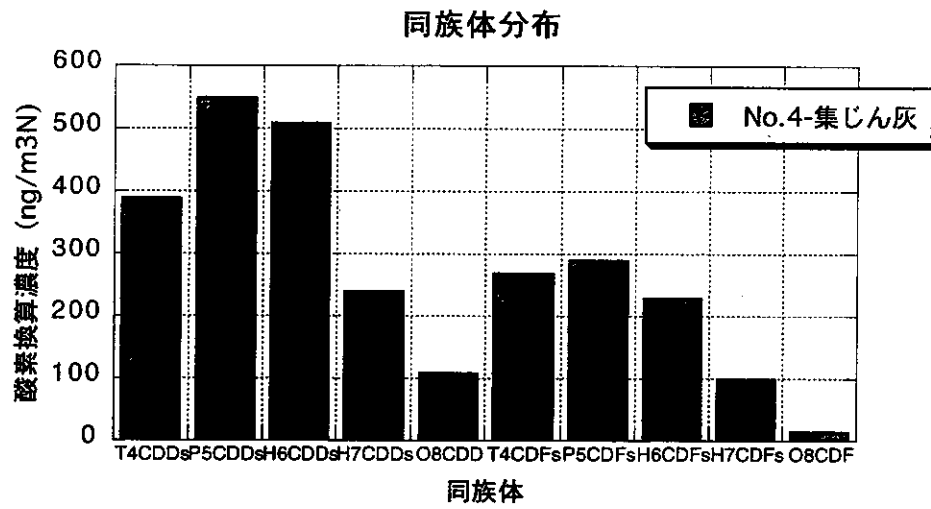


図4.29 No.4の集じん灰中のダイオキシン類の同族体および異性体分布

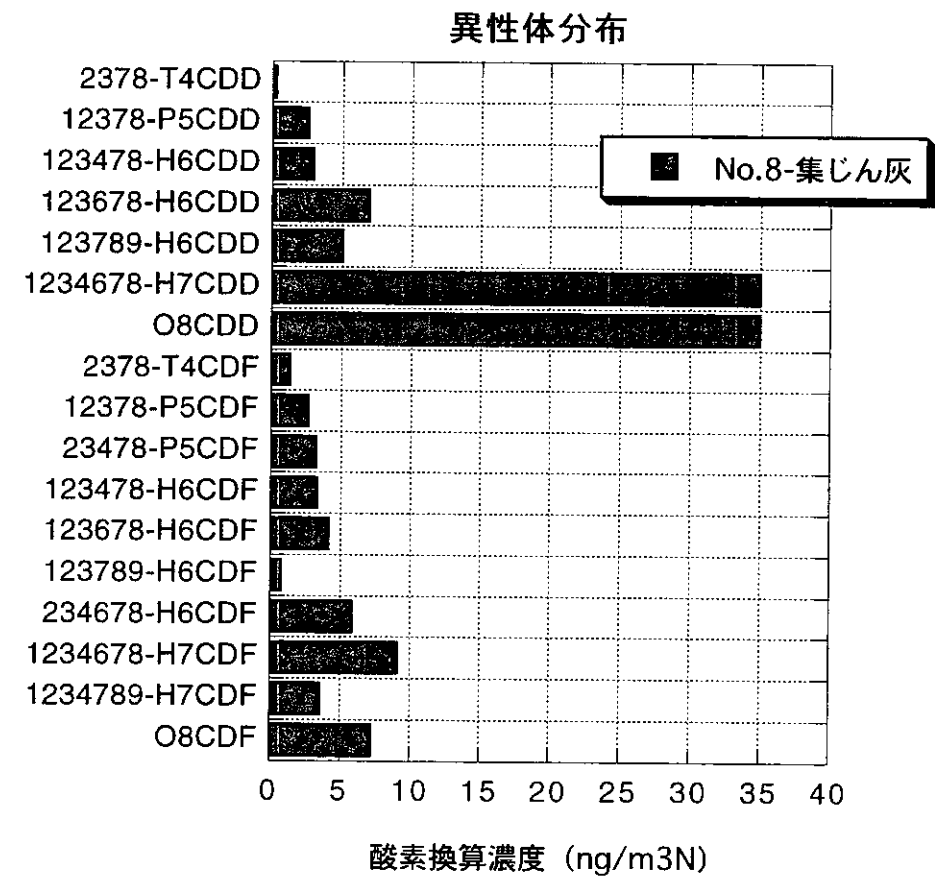
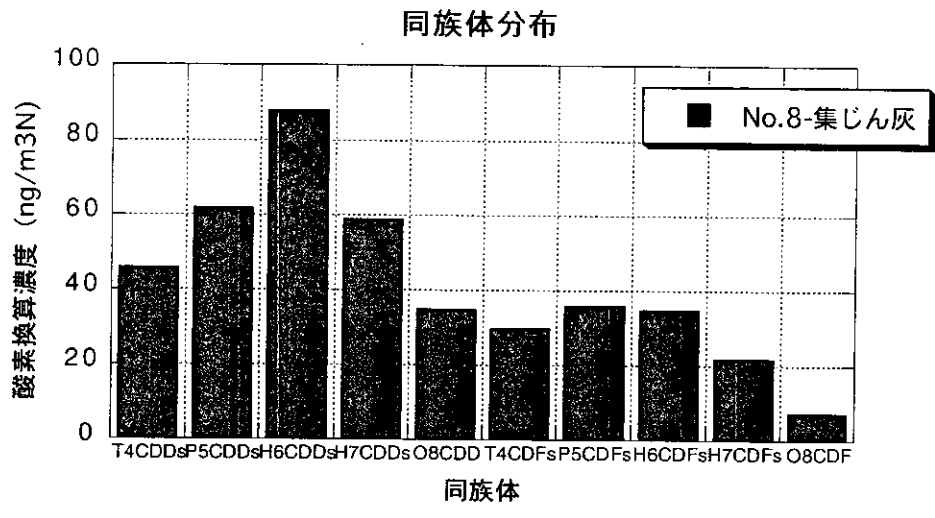


図4.30 No.8の集じん灰中のダイオキシン類の同族体および異性体分布

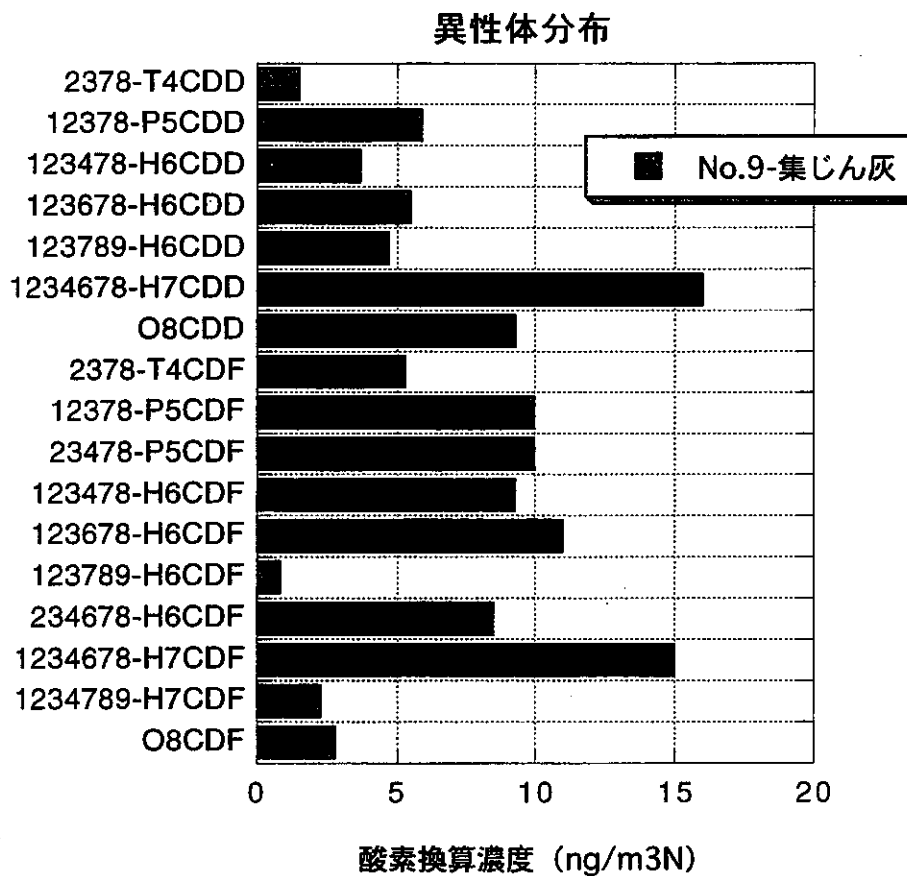
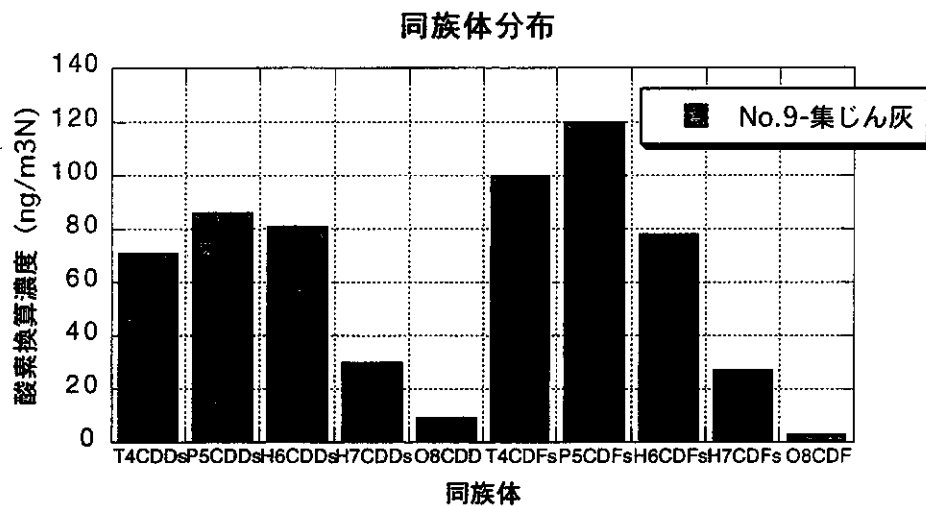


図4.31 No.9の集じん灰中のダイオキシン類の同族体および異性体分布

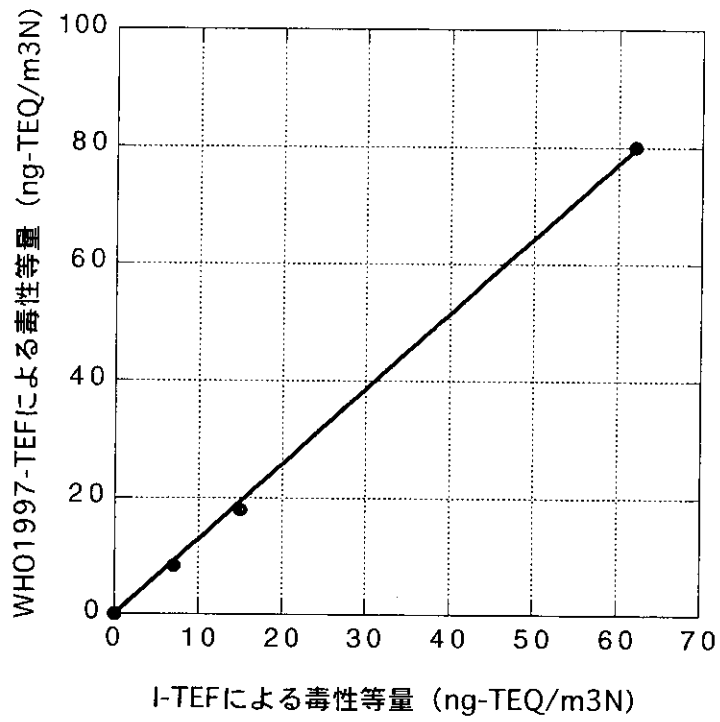


図4.32 集じん灰におけるI-TEFとWHO1997-TEFによる毒性等量の関係

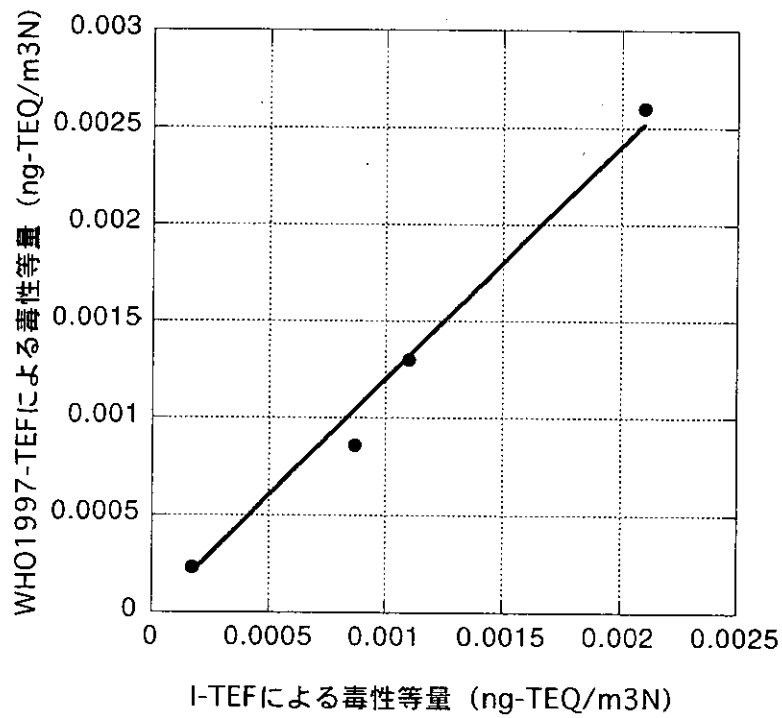


図4.33 残骨灰におけるI-TEFとWHO1997-TEFによる毒性等量の関係

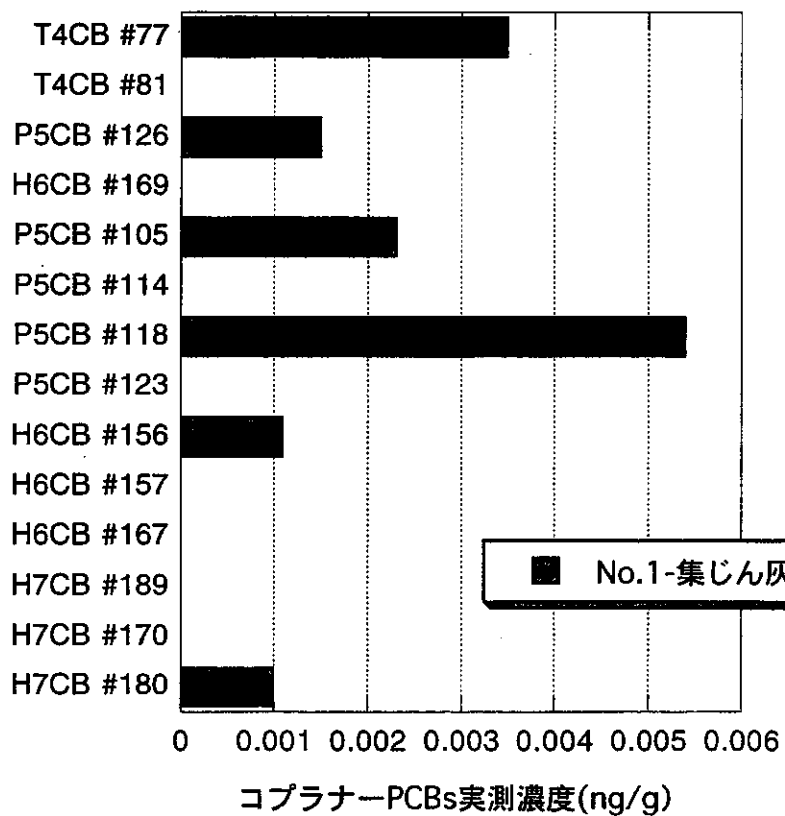
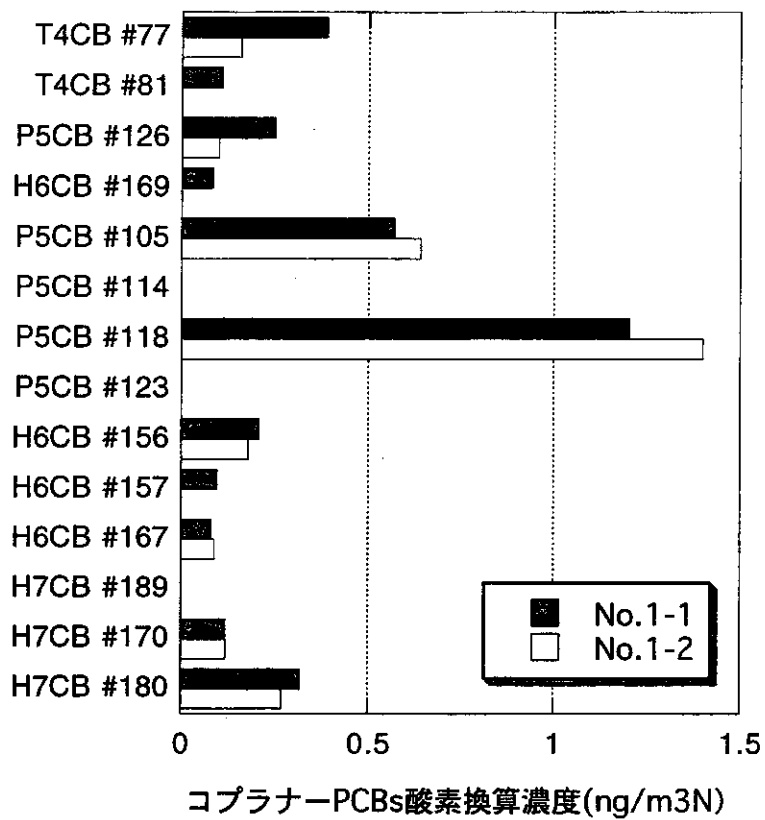


図4.34 No.1のコプラナーPCBsの異性体分布

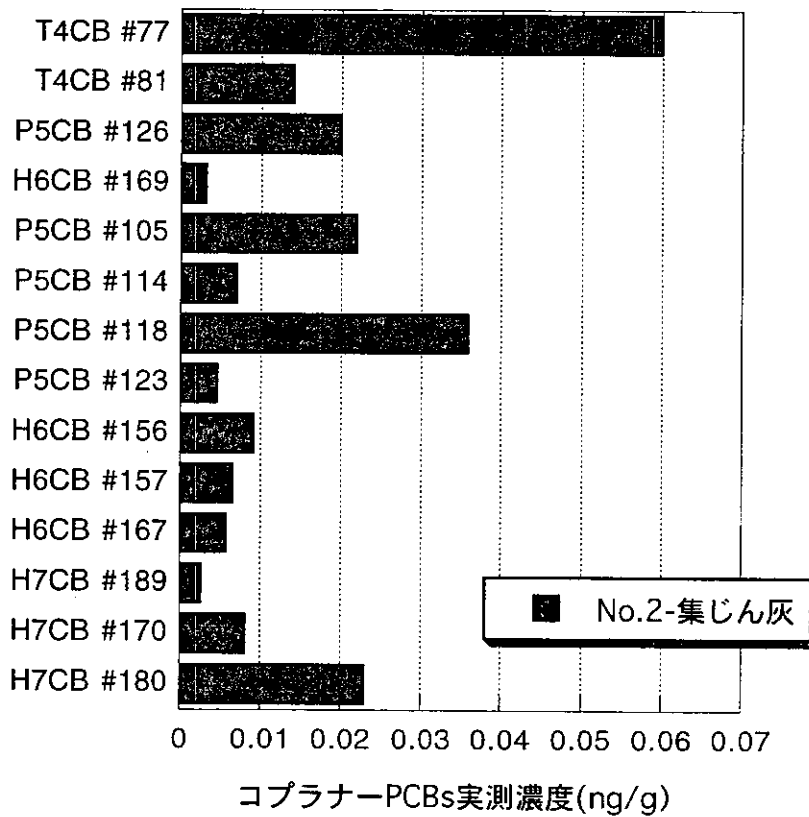
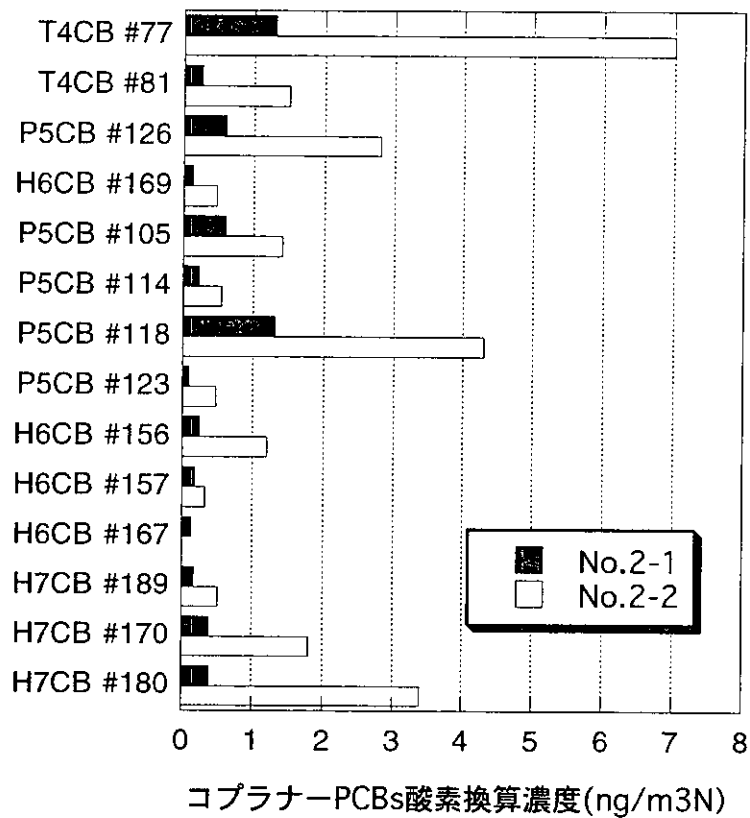


図4.35 No.2のコプラナーPCBsの異性体分布

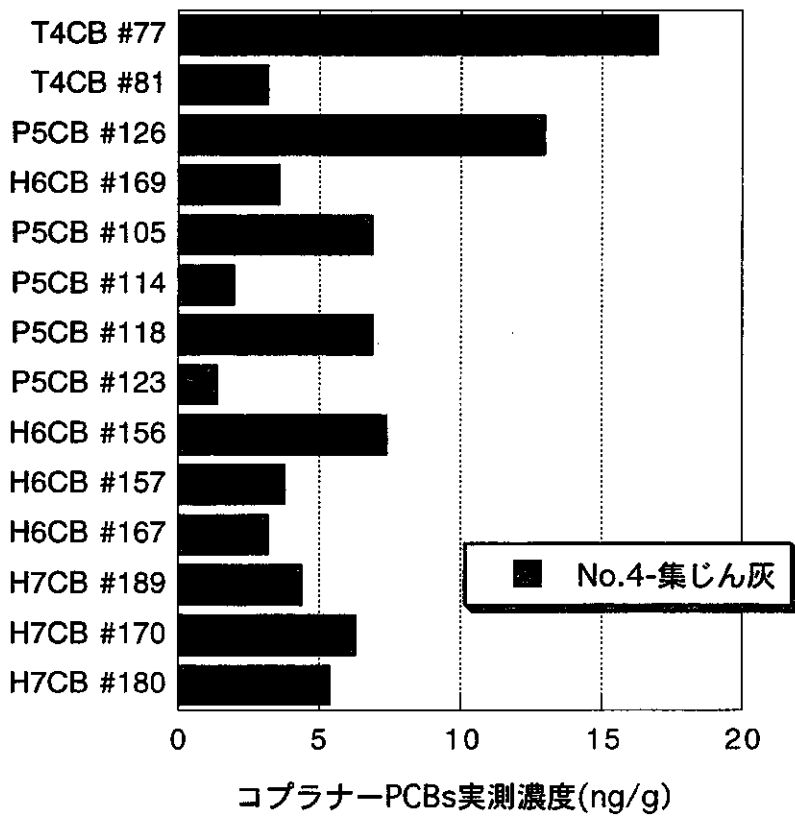
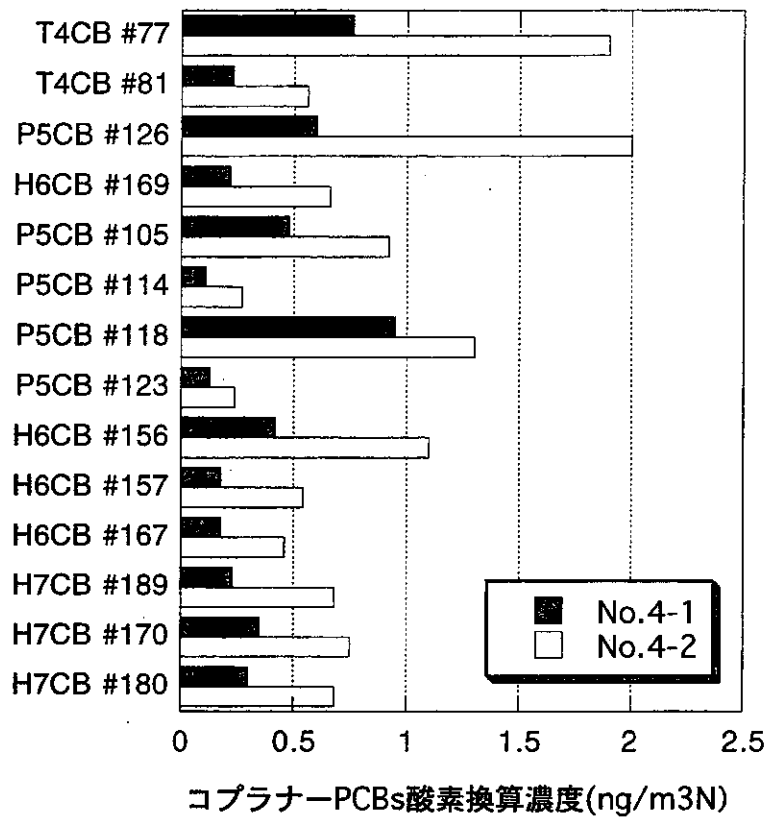


図4.36 コプラナーPCBsの異性体分布



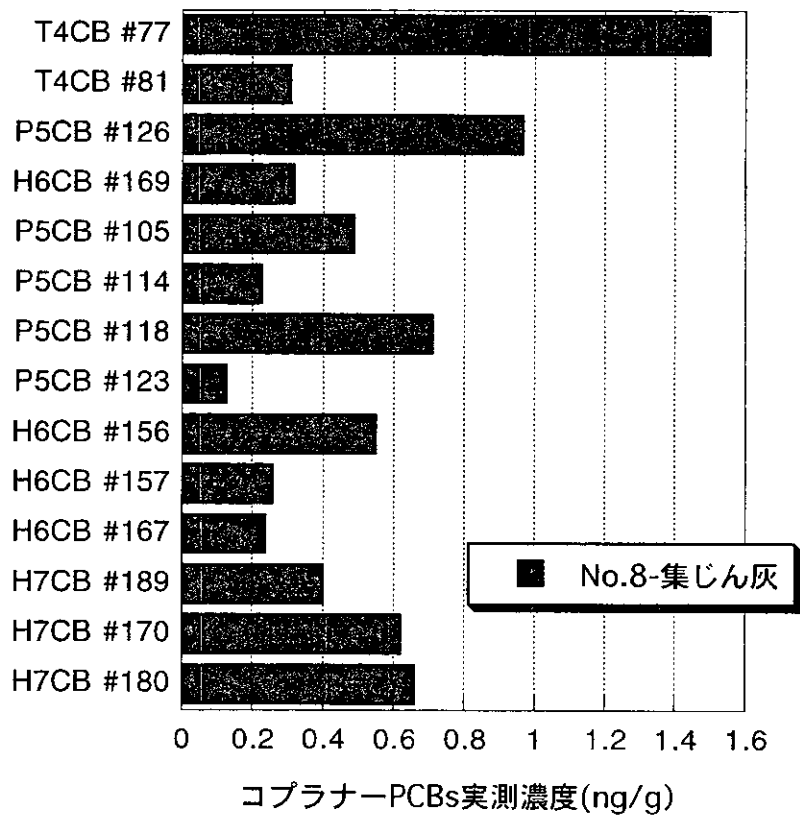
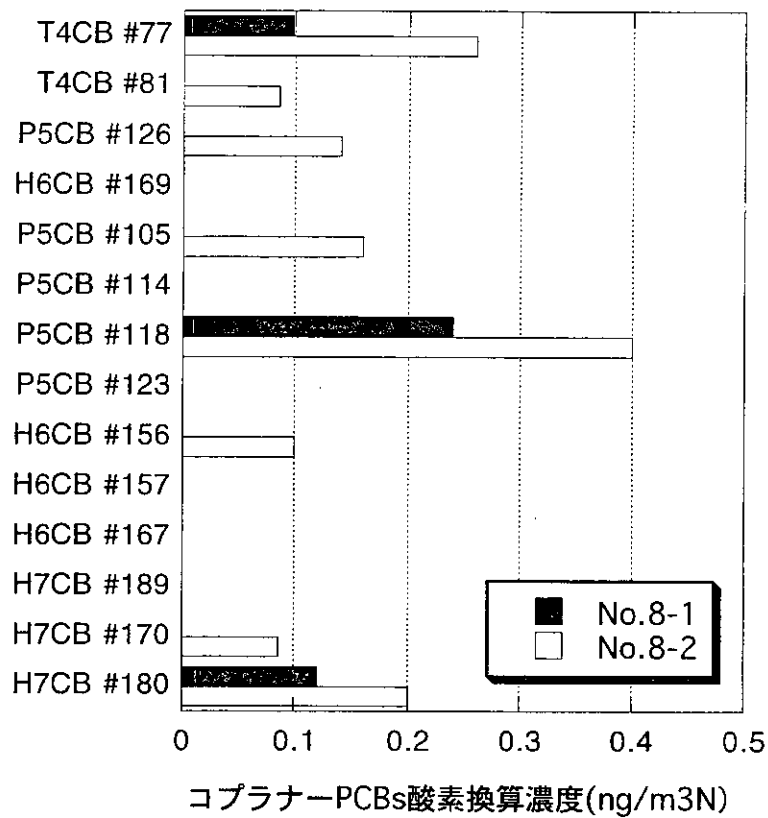


図4.37 No.8のコプラナーPCBsの異性体分布

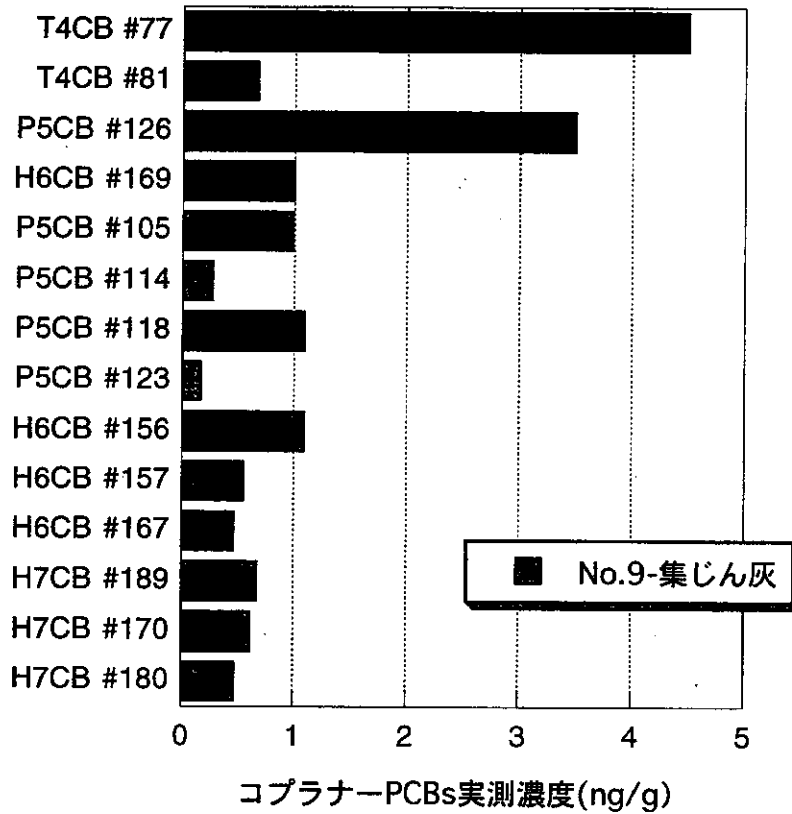
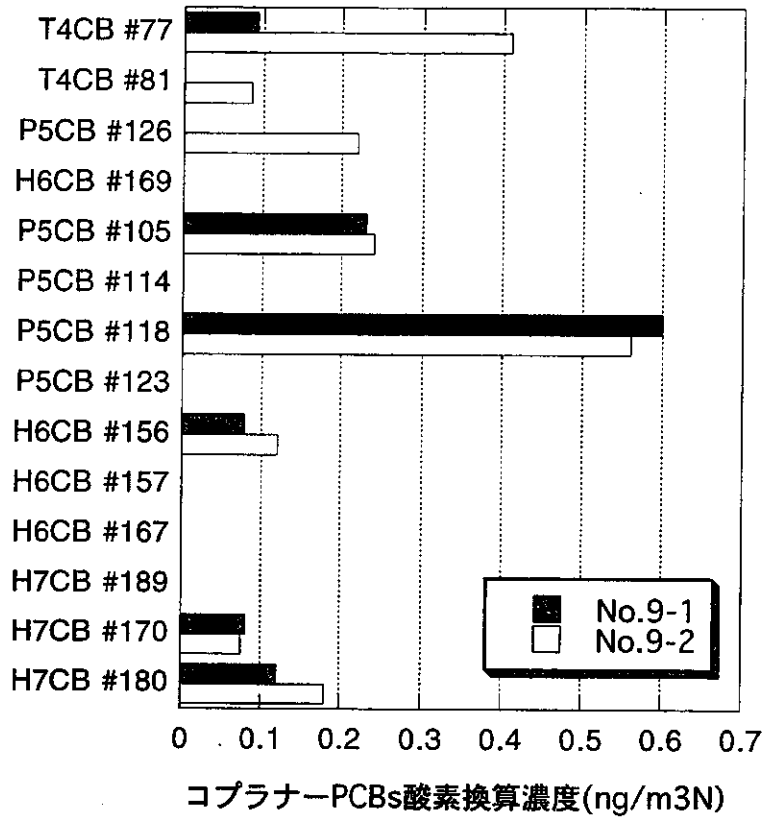


図4.38 No.9のコプラナーPCBsの異性体分布

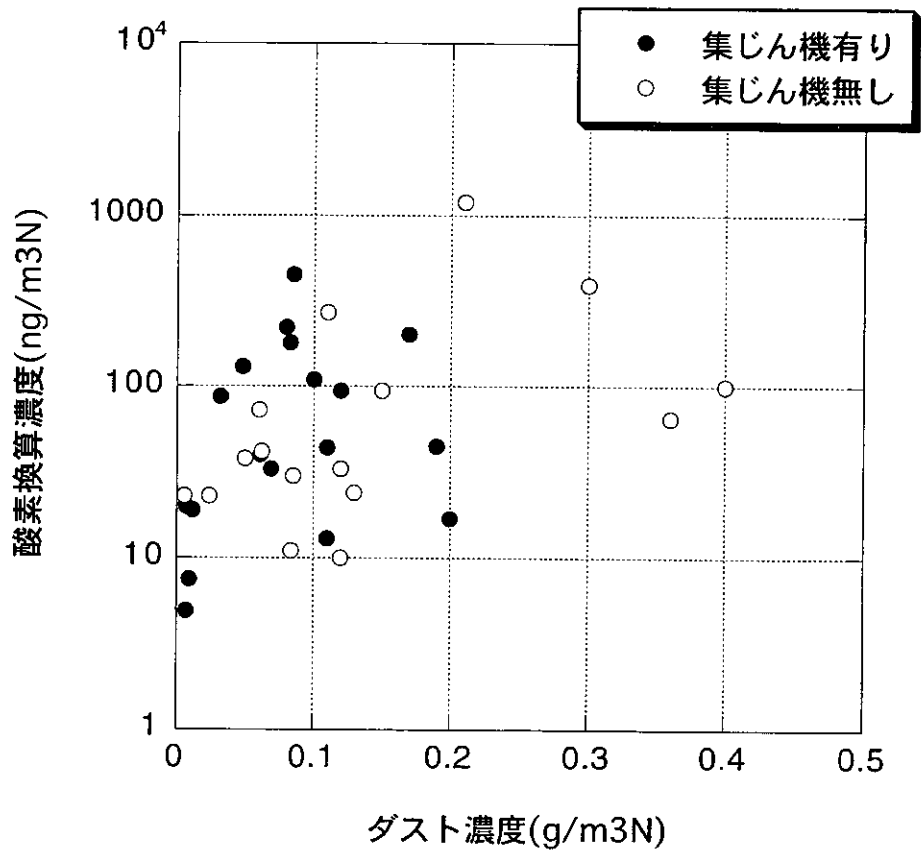


図4.39 集じん機の有無によるダスト濃度とダイオキシン類酸素換算濃度の関係

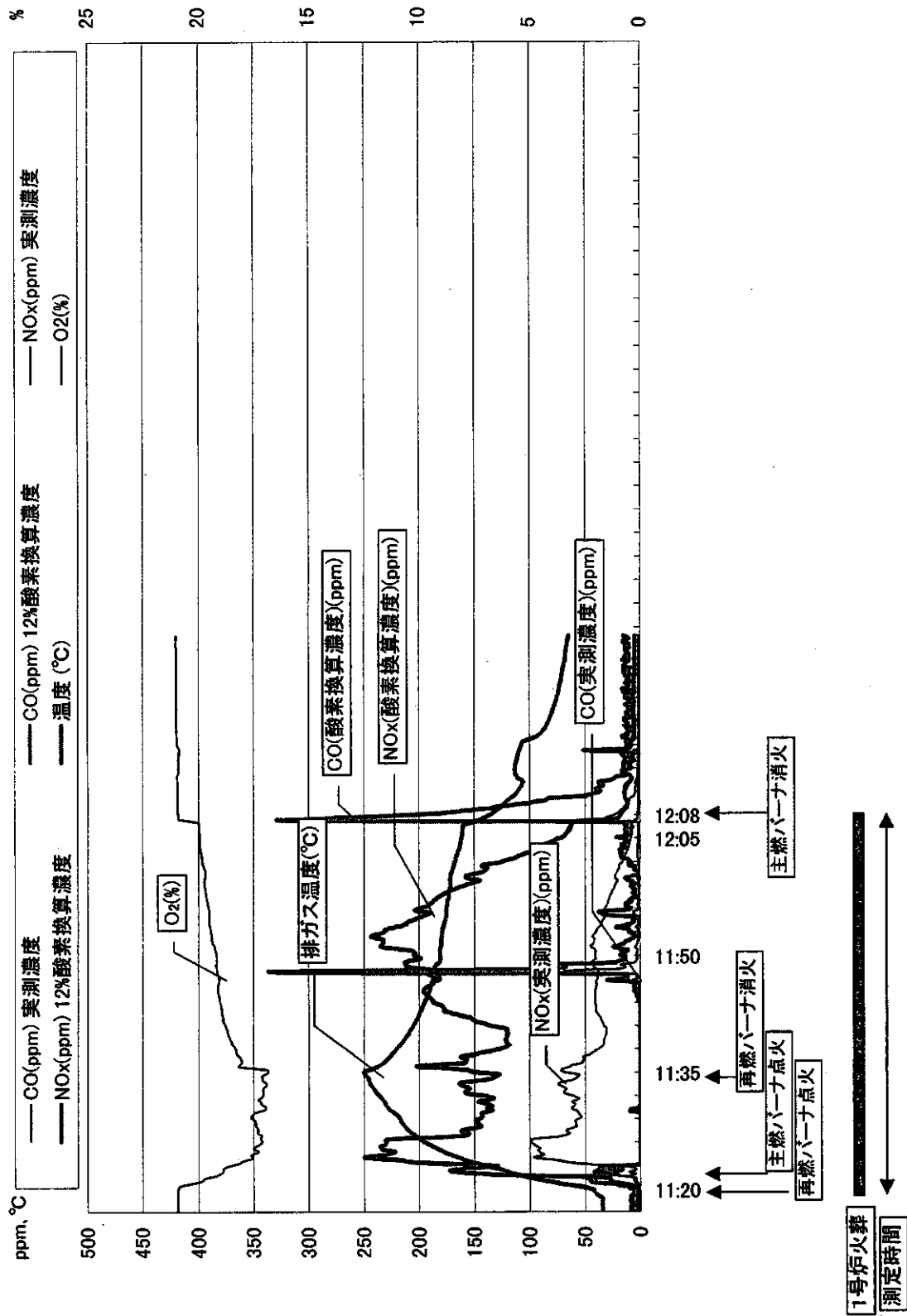


図4.40 No.1の1回目の連続測定結果

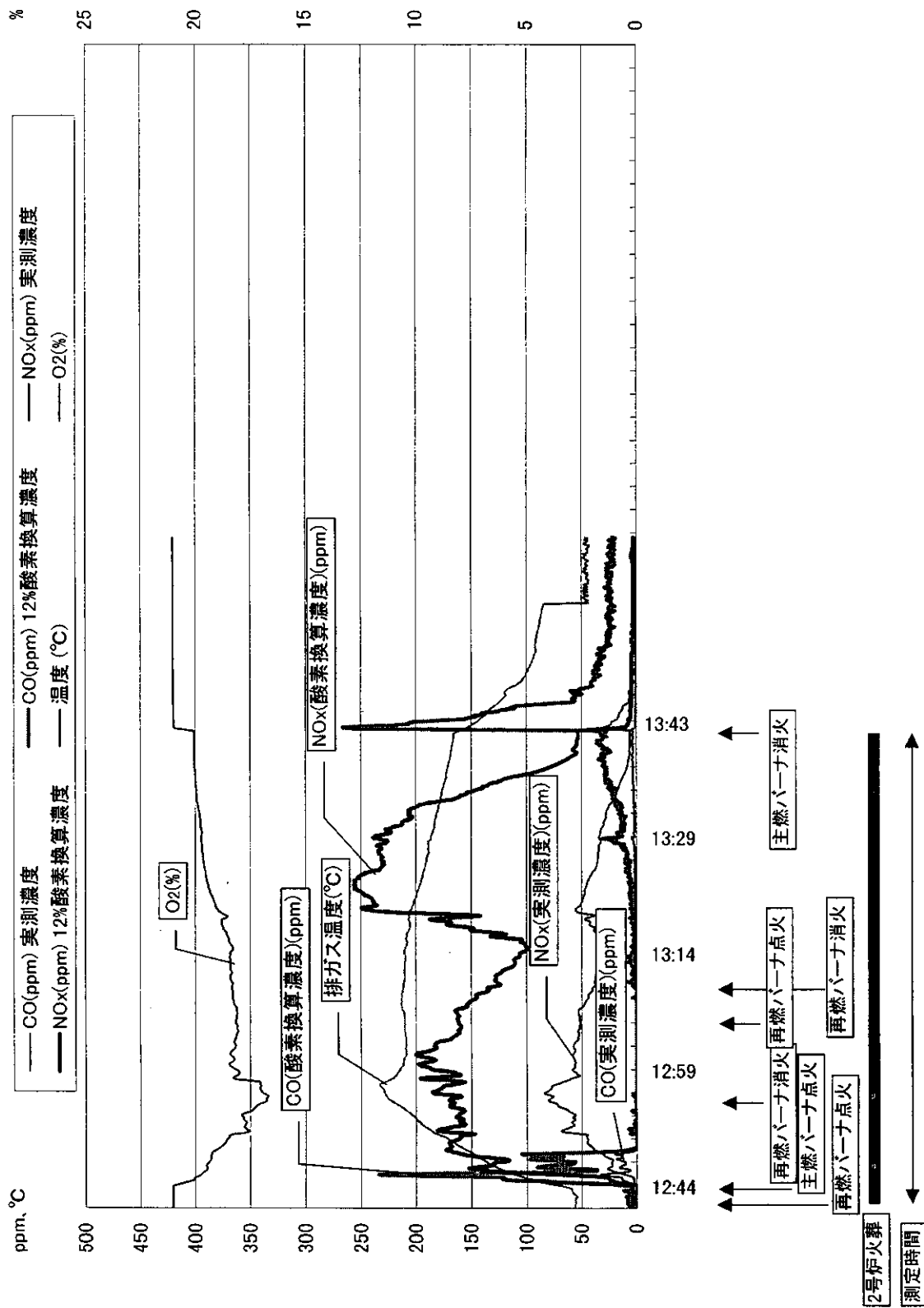


図4.41 No.1の2回目の連続測定結果

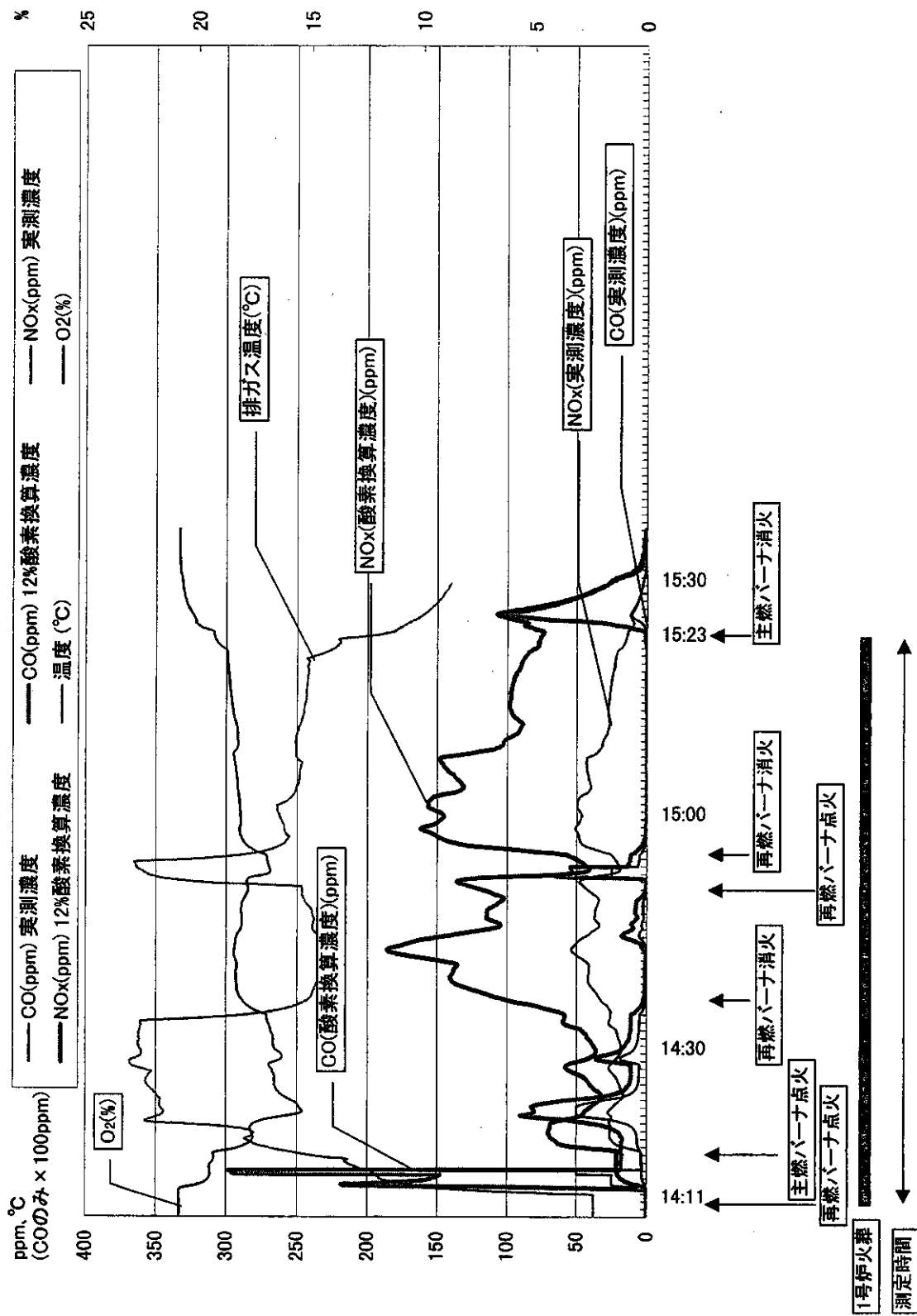


図4.42 No.2の1回目の連続測定結果

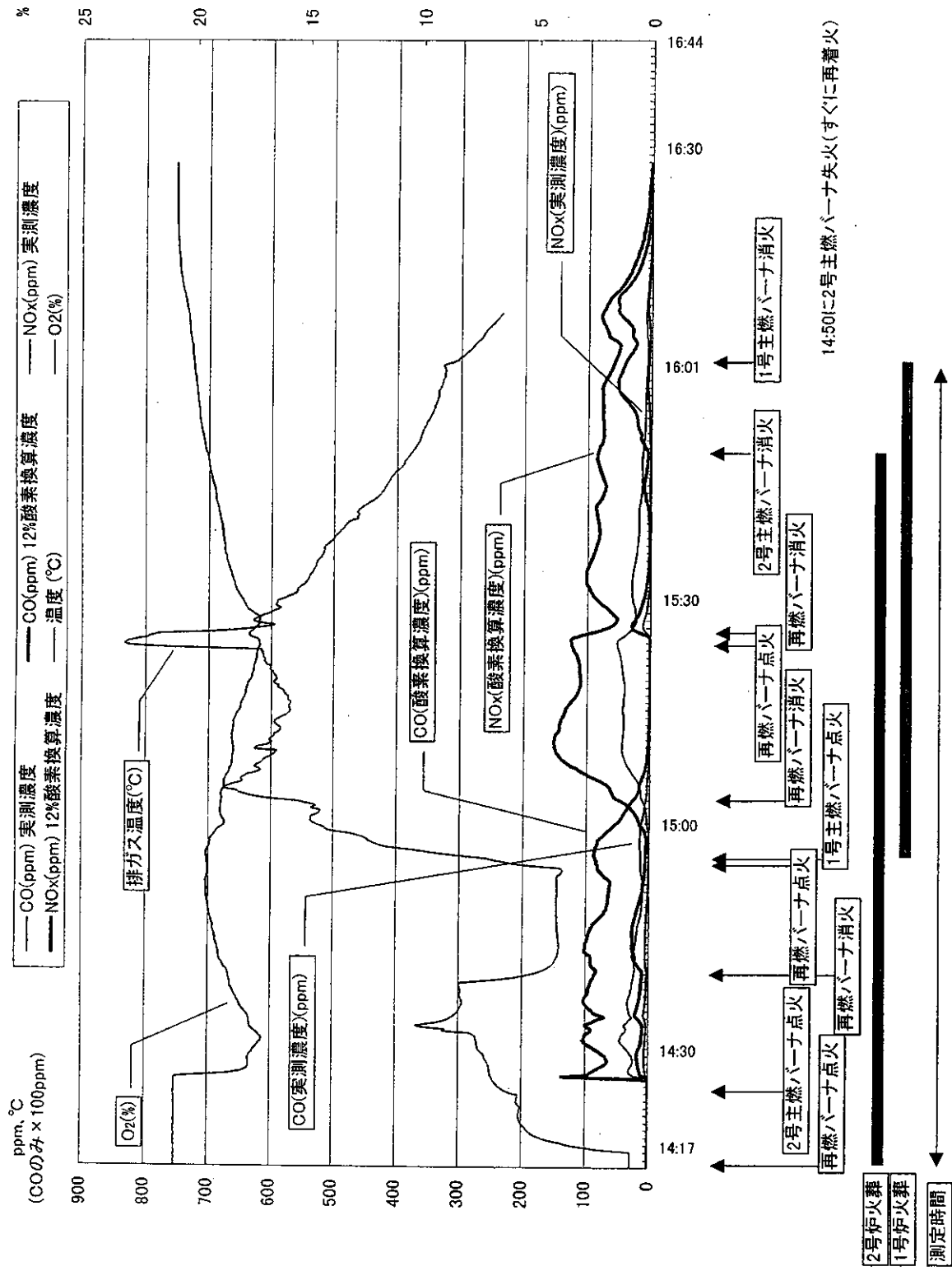


図4.43 No.2の2回目の連続測定結果

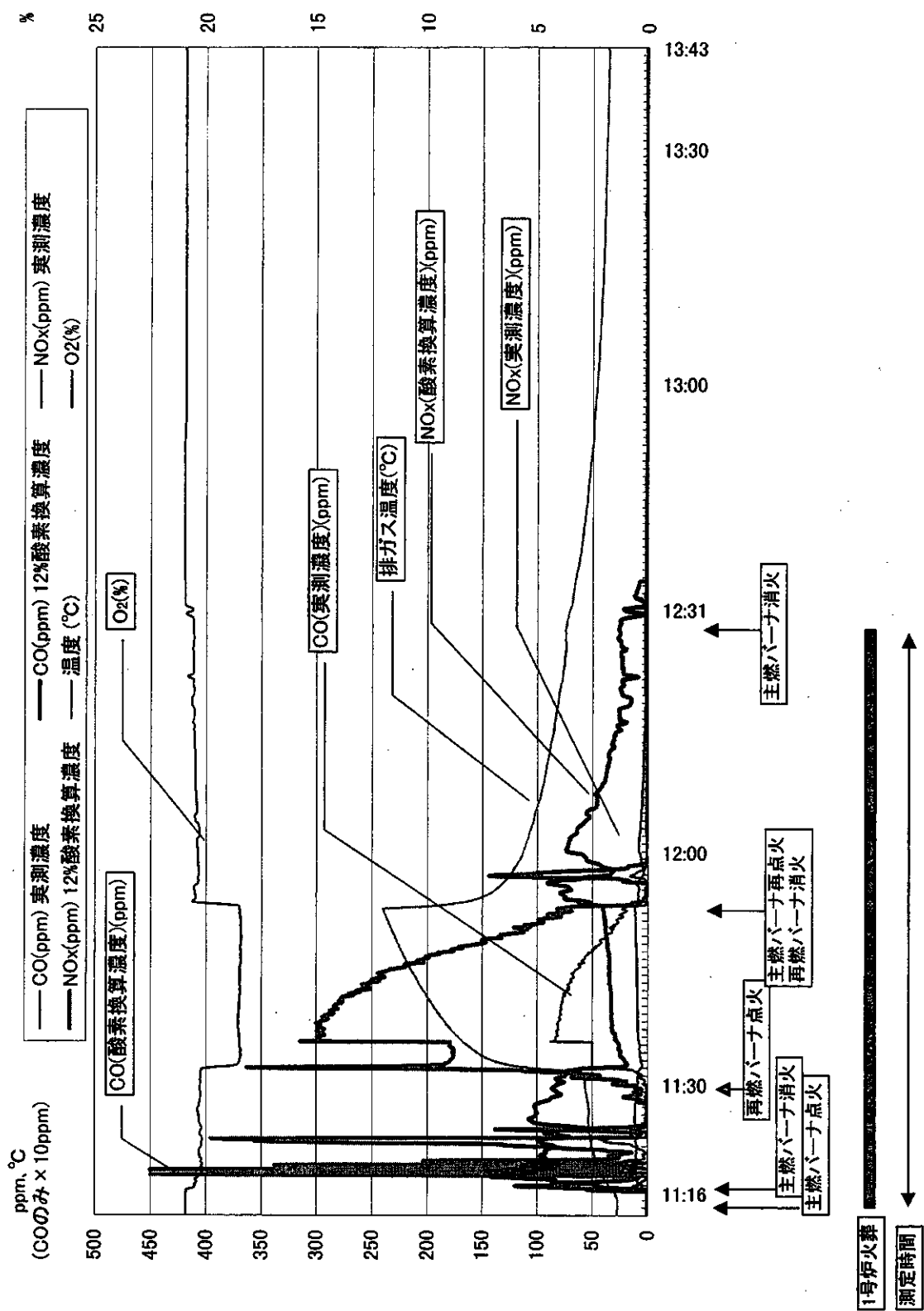


図4.44 No.3の1回目の連続測定結果



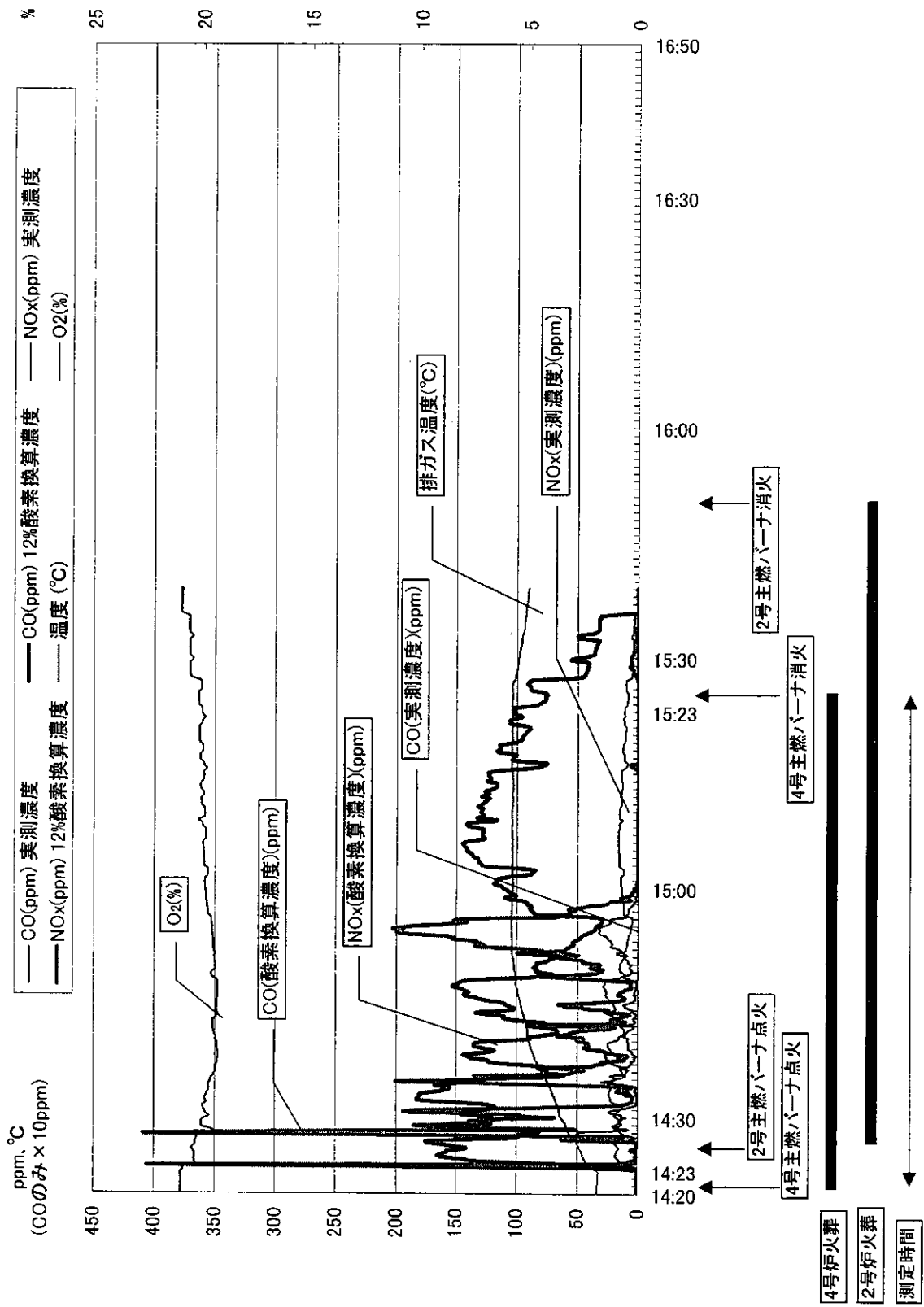


図4.45 No.3の2回目の連続測定結果

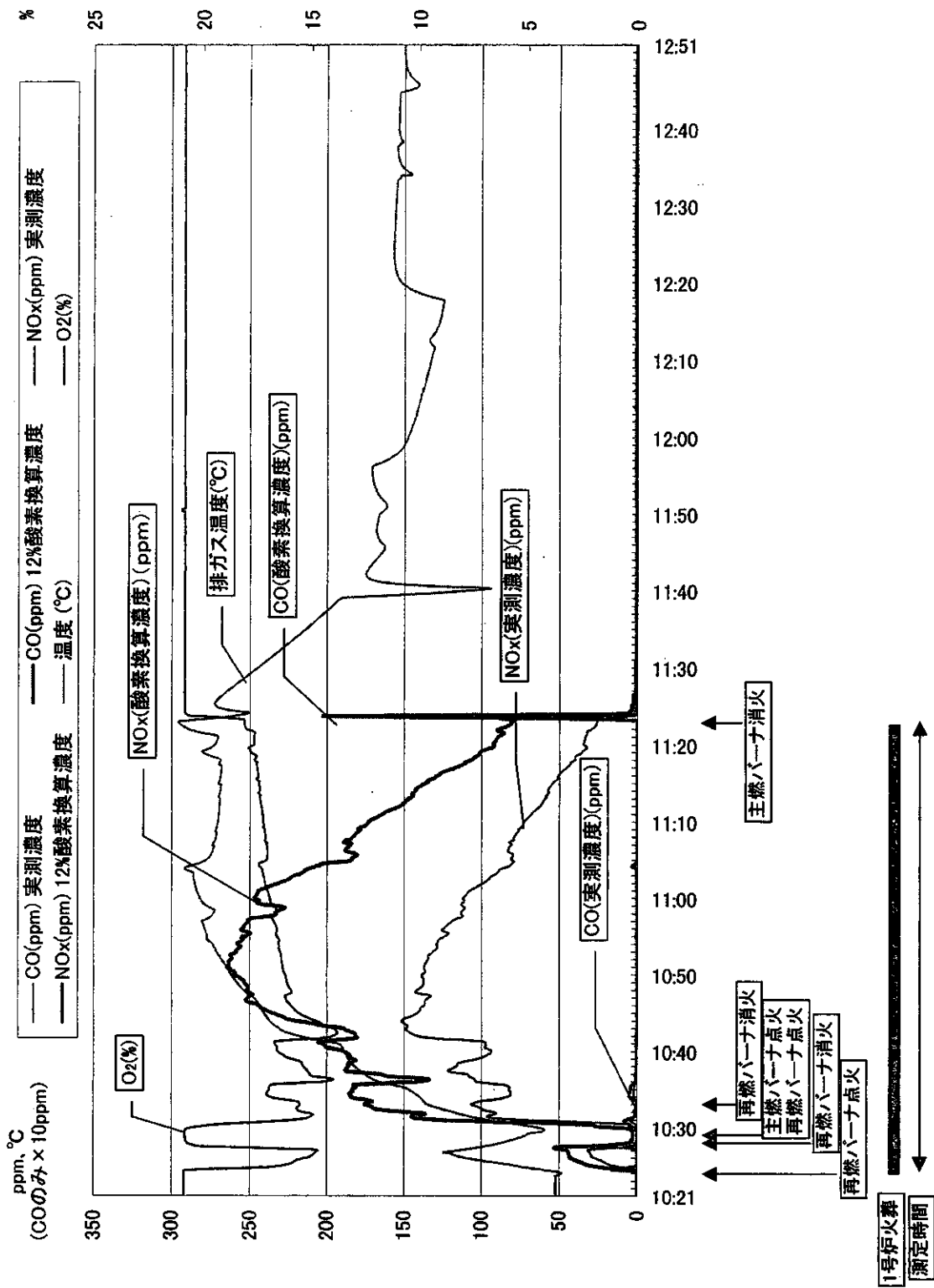


図4.46 No.4の1回目の連続測定結果

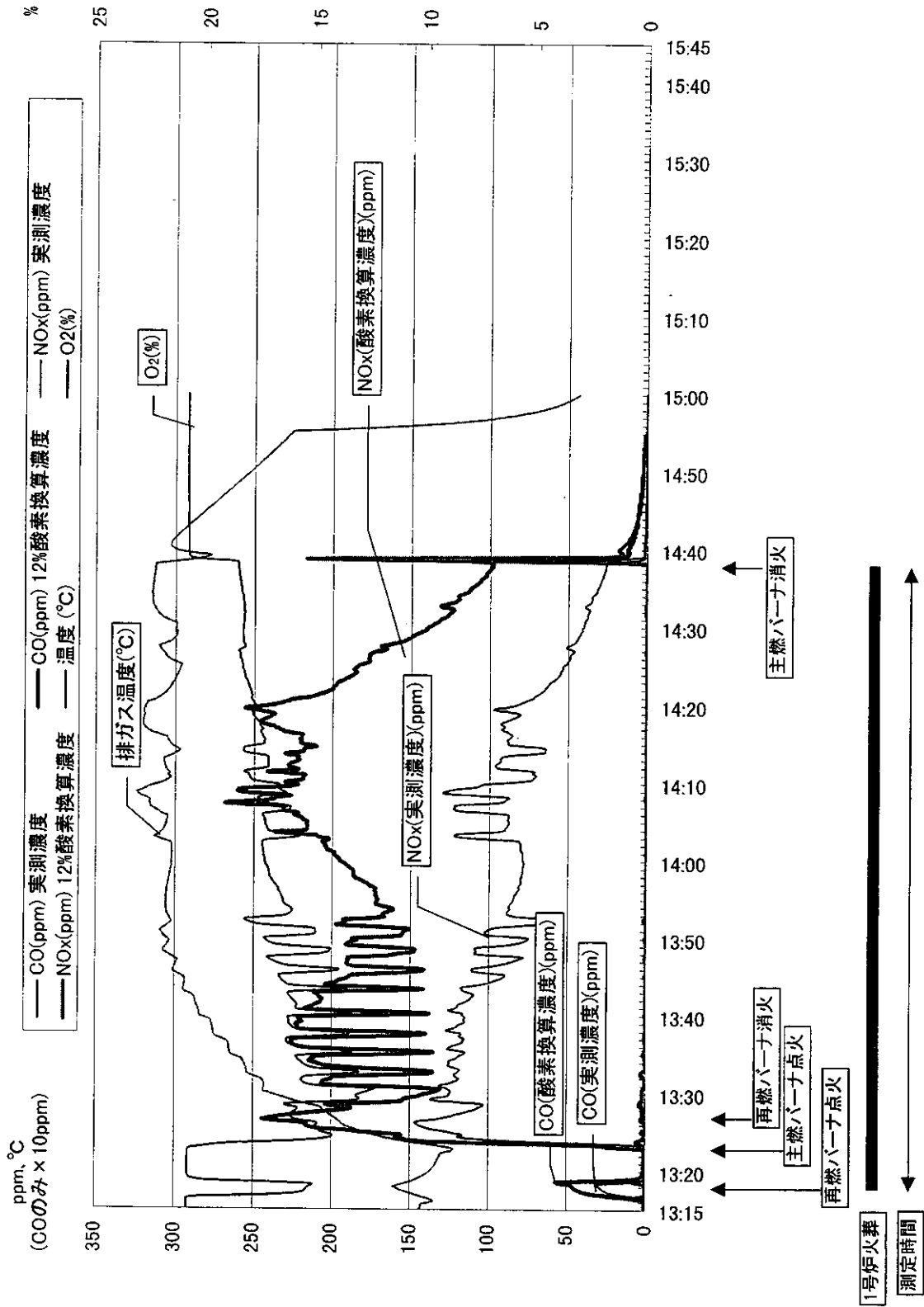


図4.47 No.4の2回目の連続測定結果

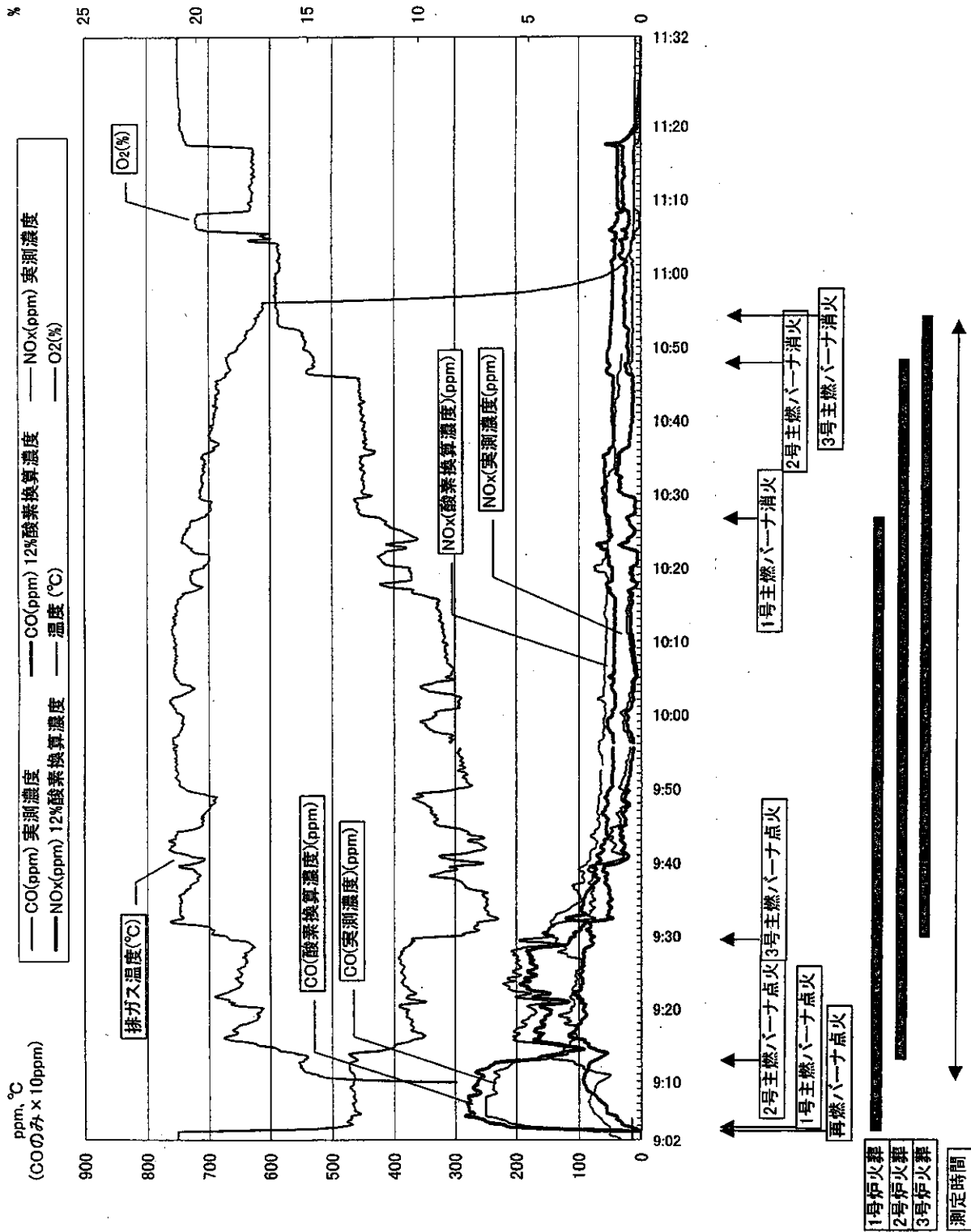


図4.48 No.5の1回目の連続測定結果